

# DATARAPPORT PORETRYKKMÅLINGER

OSC-30-H003-G-RA-00006

## B14



## 1107304 OCEAN SPACE CENTRE

Prosjekt	Ocean Space Centre
Kontrakt	K202
Byggherre	Statsbygg
Utgiver	Multiconsult
Utskriftsdato	15.12.2021
Sist endret	04.12.2020
Henvendelser kan rettes til	Statsbygg Postboks 232 Sentrum, 0103 Oslo Telefon: 22 95 40 00 Epost: <a href="mailto:postmottak@statsbygg.no">postmottak@statsbygg.no</a> Internett: <a href="http://www.statsbygg.no">http://www.statsbygg.no</a>

---

RAPPORT

# Ocean Space Center

---

OPPDRAKSGIVER

Statsbygg

EMNE

Datarapport poretrykksmålinger

DATO / REVISJON: 04. desember 2020 / 00

DOKUMENTKODE: 10216159-RIG-RAP-001

---



Multiconsult

Denne rapporten er utarbeidet av Multiconsult i egen regi eller på oppdrag fra kunde. Kundens rettigheter til rapporten er regulert i oppdragsavtalen. Hvis kunden i samsvar med oppdragsavtalen gir tredjepart tilgang til rapporten, har ikke tredjepart andre eller større rettigheter enn det han kan utlede fra kunden. Multiconsult har intet ansvar dersom rapporten eller deler av denne brukes til andre formål, på annen måte eller av andre enn det Multiconsult skriftlig har avtalt eller samtykket til. Deler av rapportens innhold er i tillegg beskyttet av opphavsrett. Kopiering, distribusjon, endring, bearbeidelse eller annen bruk av rapporten kan ikke skje uten avtale med Multiconsult eller eventuell annen opphavsrettshaver.

## RAPPORT

OPPDRAG	<b>Ocean Space Center</b>	DOKUMENTKODE	10216159-RIG-RAP-001
EMNE	Datarapport poretrykksmålinger	TILGJENGELIGHET	Åpen
OPPDRAGSGIVER	<b>Statsbygg</b>	OPPDRAGSLEDER	Svein Nielsen
KONTAKTPERSON	Kjersti Skjelle Paulsen	UTARBEIDET AV	Amund Quitzau Growen/Jin K. Melhus
KOORDINATER	SONE: 32    ØST: 96702    NORD: 1604159	ANSVARLIG ENHET	10234011 Geoteknikk Midt
GNR./BNR./SNR.	57 / 295 / - / Trondheim		

## SAMMENDRAG

Foreliggende rapport presenterer resultater fra utførte poretrykksmålinger for Ocean Space Center på Tyholt i Trondheim kommune.

Det ble installert elektriske poretrykksmålere i 5 punkter. Samtlige ble installert den 26. mai 2020. Siste avlesninger er utført den 28. oktober 2020. PZ35, dybde 10 meter ble installert 17.12.2019.

					
00	05.11.2020	Datarapport poretrykksmålere	Amund Q. Growen	Håvard Narjord	Håvard Narjord
REV.	DATO	BESKRIVELSE	UTARBEIDET AV	KONTROLLERT AV	GODKJENT AV

## INNHOLD

<b>1</b>	<b>Innledning .....</b>	<b>5</b>
1.1	Utførelse .....	5
1.2	Kvalitetssikring og standardkrav .....	5
<b>2</b>	<b>Poretrykksmålinger.....</b>	<b>5</b>
<b>3</b>	<b>Referanser .....</b>	<b>7</b>

## TEGNINGER

-001	Borplan
-250	Poretrykksmålere

## BILAG

1. Geoteknisk bilag – Feltundersøkelser
2. Geoteknisk bilag – Laboratorieundersøkelser
3. Geoteknisk bilag – Oversikt over metodestandarder og retningslinjer

## 1 Innledning

Foreliggende rapport presenterer resultater fra utførte poretrykksmålinger for Ocean Space Center på Tyholt i Trondheim kommune.

Multiconsult har tidligere utført grunnundersøkelser for samme prosjekt. Resultatene fra undersøkelsene er presentert i rapport 10215547-RIG-RAP-001 [1].

### 1.1 Utførelse

Boringenes utførelse er generelt beskrevet i geoteknisk bilag 1, mens oversikt over metodestandarder for utførelse er gitt i geoteknisk bilag 3.

### 1.2 Kvalitetssikring og standardkrav

Oppdraget er kvalitetssikret i henhold til Multiconsults styringssystem. Systemet omfatter prosedyrer og beskrivelser som er dekkende for kvalitetsstandard NS-EN ISO 9001:2015 [2]. Feltundersøkelsene er utført iht. NS 8020-1:2016 [3] og tilgjengelige metodestandarder fra Norsk Geoteknisk Forening [4].

Oversikt over utvalgte metodestandarder er vist i geoteknisk bilag 3.

## 2 Poretrykksmålinger

Det ble installert elektriske poretrykksmålere i 5 punkter. Samtlige ble installert den 26. mai 2020 av borleder Stian Langolf med borerigg av typen Geotech 607H. PZ35, dybde 10 meter ble installert 17.12.2019. Siste avlesninger utført den 28. oktober 2020 er presentert i Tabell 2-1.

Tabell 2-1: Poretrykksmålinger

Poretrykksmåler (ID)	Kote terreng	Dybde [m]	Kote spiss	Kote GV
PZ27 (17695)	117,0	4,0	113,0	114,4
PZ33 (17697)	110,2	8,0	102,2	113,8
PZ35 (13932)	107,4	5,0	102,4	110,3
PZ35 (17273)	107,4	10,0	97,4	120,5
PZ44 (17694)	110,0	4,8	105,2	108,8
PZ48 (17696)	104,5	8,0	97,5	101,7

Piezometernes plassering er vist på borplan, se tegning -001.

Tabell 2-2: Koordinat-/høydesystem

Høydesystem	Koordinatsystem	Sone
NN 2000	Euref 89	NTM 10

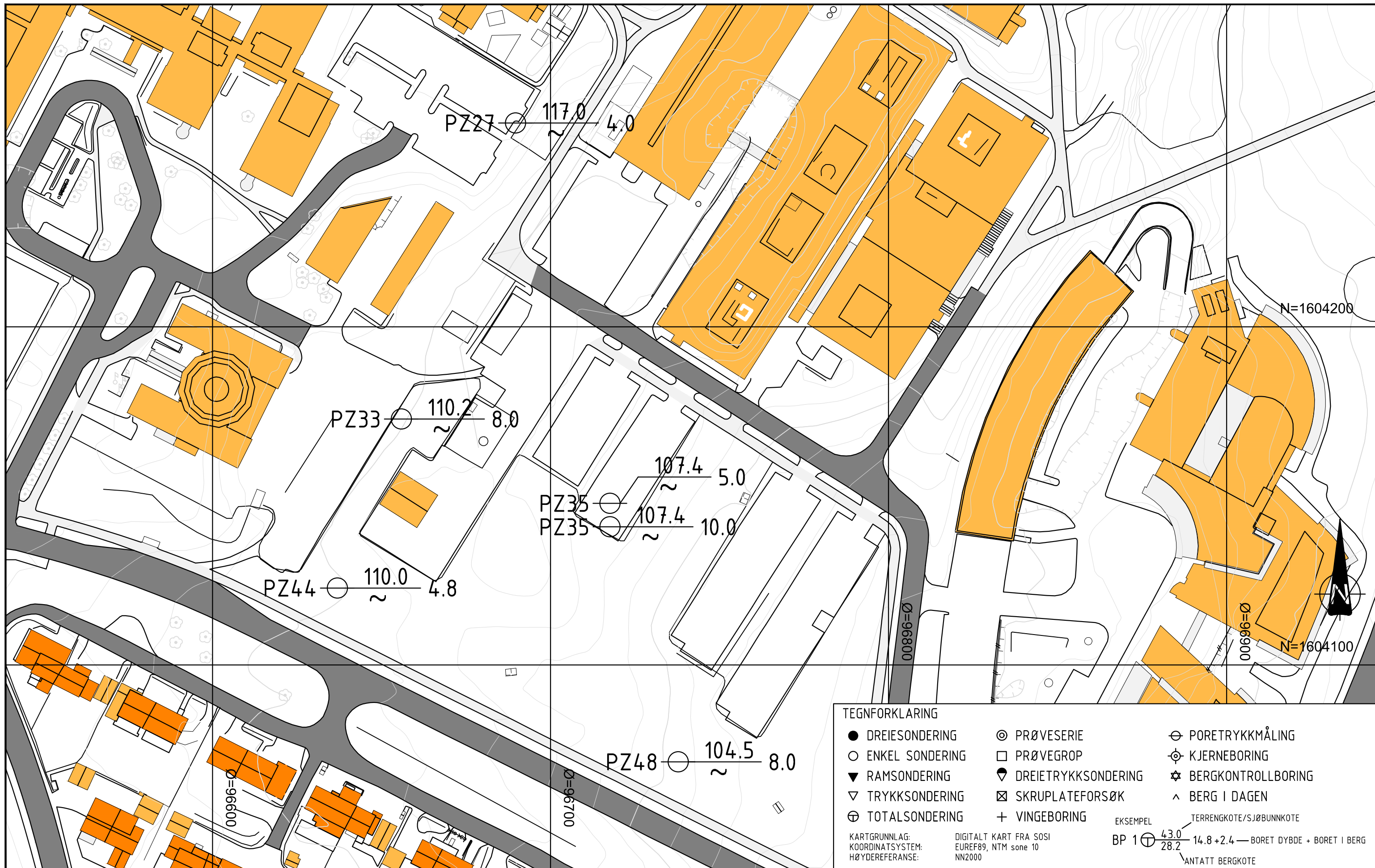
Tabell 2-3: Koordinater poretrykksmålere

Poretrykks- måler	Koordinater		
	X	Y	Z
	[m]	[m]	[m]
PZ27	1604260,3	96689,6	117,0
PZ33	1604172,7	96655,9	110,2
PZ35-5m	1604147,8	96717,6	107,4
PZ35-10m	1604147,8	96717,6	107,4
PZ44	1604122,7	96636,9	110,0
PZ48	1604071,3	96737,8	104,5

### 3 Referanser

- [1] Multiconsult Norge AS, «10215547-RIG-RAP-001. Ocean Space Center. Geotekniske grunnundersøkelser,» 14. januar 2020.
- [2] Standard Norge, «Systemer for kvalitetsstyring. Krav (ISO 9001:2015),» Standard Norge, Norsk standard (Eurokode) NS-EN ISO 9001:2015.
- [3] Standard Norge, «Kvalifikasjonskrav til utførende av grunnundersøkelser - Del 1: Geotekniske feltundersøkelser (NS 8020-1:2016),» Standard Norge, Norsk standard NS 8020-1:2016, Juni 2016.
- [4] Norsk Geoteknisk Forening (NGF): NGF-Melding nr. 1-11.





**TEGNFORKLARING**

- DREIESONDERING
- ENKEL SONDERING
- ▼ RAMSONDERING
- ▽ TRYKKSONDERING
- ⊕ TOTALSONDERING
- ⊙ PRØVESERIE
- PRØVEGROP
- ◆ DREIETRYKKSONDERING
- ⊠ SKRUPLATEFORSØK
- + VINGEBORING
- ⊖ PORETRYKKMÅLING
- ⊕ KJERNEBORING
- ⊠ BERGKONTROLLBORING
- ^ BERG I DAGEN

KARTGRUNNLAG:  
 KOORDINATSYSTEM:  
 HØYDEREFERANSE:

DIGITALT KART FRA SOSI  
 EUREF89, NTM sone 10  
 NN2000

EKSEMPEL  
 BP 1 ⊕ 43.0  
 28.2  
 TERRENGKOTE/SJØBUNNKOTE  
 14.8+2.4 — BORET DYBDE + BORET I BERG  
 ANTATT BERGKOTE

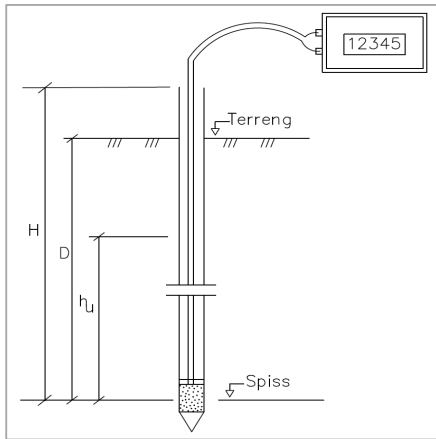
Rev.	Beskrivelse	Endr.liste	Dato	Tegn.	Kontr.	Godkj.

**Multiconsult**

www.multiconsult.no

**STATSBYGG**  
 OCEAN SPACE CENTER  
 BORPLAN PIEZOMETER

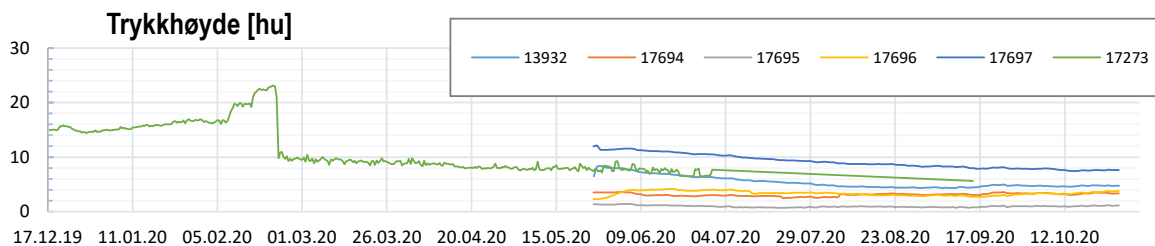
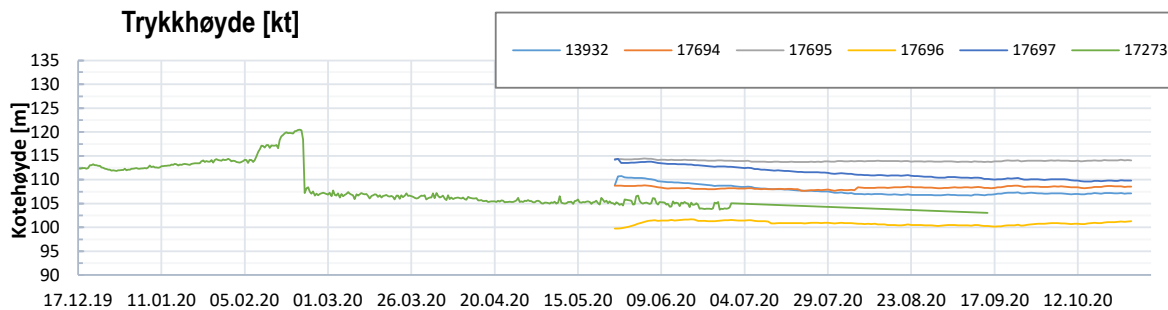
Status	-	Fag	RIG	Original format	A3	Dato	2020-09-09
Konstr./Tegnet	AMG	Kontrollert	HAN	Godkjent	HAN	Målestokk	1:1000
Oppdragsnr.	10216159	Tegningsnr.	RIG-TEG-001	Rev.	00		



	ID	Bor.pkt	Kote [m]	Anmerkning
Poretrykksmåler	13932	35	107.4	
Poretrykksmåler	17273	35	107.4	
Poretrykksmåler	17694	44	110.0	
Poretrykksmåler	17695	27	117.0	
Poretrykksmåler	17696	48	104.5	
Poretrykksmåler	17697	33	110.2	
Poretrykksmåler				
Poretrykksmåler				
Poretrykksmåler				
Poretrykksmåler				

### Lokasjon og geometri

Måler/ID	13932	17273	17694	17695	17696	17697	Anmerkning
Koordinat NORD (X) [m]							
Koordinat ØST (Y) [m]							
Terrengkote [m]	107.4	107.4	110.0	117.0	104.5	110.2	
Topp rør over terreng [m]	0.0	2.0	1.2	1.0	1.0	1.0	
Topp rør kote [m]	107.4	107.4	111.2	118.0	105.5	111.2	
Lengde rør + spiss (H) [m]	5.0	12.0	6.0	5.0	9.0	9.0	
Dybde filterspiss under terreng (D) [m]	5.0	10.0	4.8	4.0	8.0	8.0	
Filterspiss kote [m]	102.4	97.4	105.2	113.0	97.5	102.2	



Type	Elektrisk piezometer	Bor.punkt	-	ID	-	Installert dato	26.06.2020	Borboek nr.	Digital
STATSBYGG	OCEAN SPACE CENTER	Status	Utsendt	Prag	RIG	Original format	A4	dato	05.11.2020
		AMG	HAN	HAN	-				
Poretrykksregistrering	Oppdragsnr.	10216159	tegningsnr.	RIG-TEG-250	Rev.				



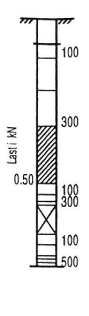
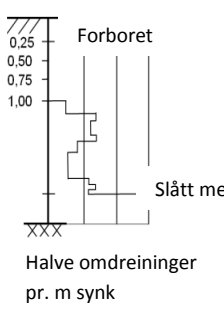
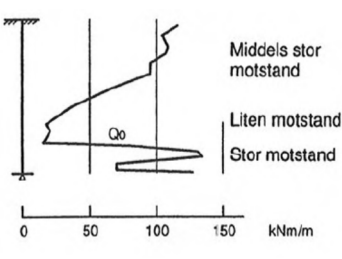
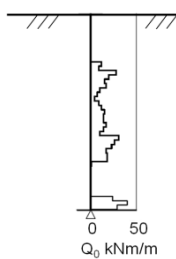
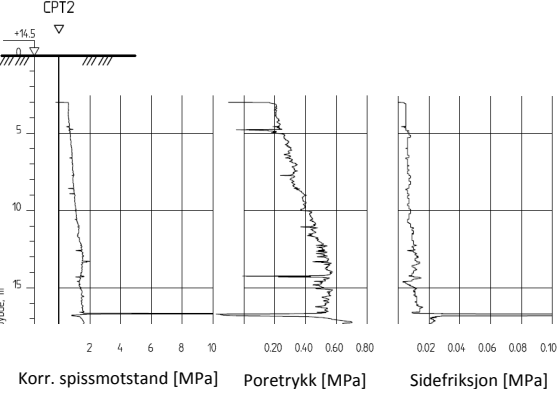
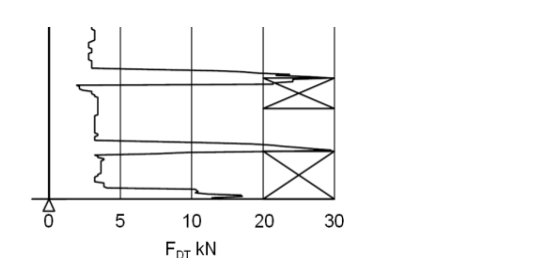
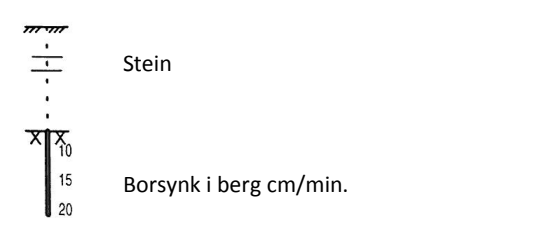
**Multiconsult**

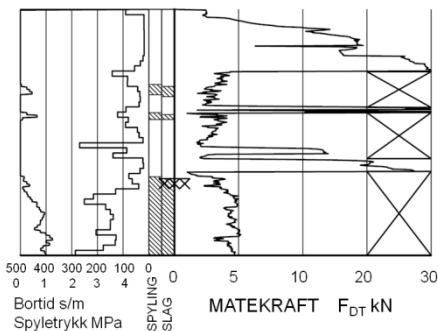
www.multiconsult.no

## BILAG 1

### **Feltundersøkelser**

**(2 sider)**

 Avsluttet mot stein, blokk eller fast grunn  Avsluttet mot antatt berg	<p>Sonderinger utføres for å få en indikasjon på grunnens relative fasthet, lagdeling og dybder til antatt berg eller fast grunn. For utførelsesstandarder henvises det til «Geoteknisk bilag – Oversikt over metodestandarder og retningslinjer».</p>
 Forboret Middels stor motstand Meget liten motstand Meget stor motstand Avsluttet uten å nå fast grunn eller berg  Forboret 0,25 0,50 0,75 1,00 Slått med slegge Halve omdreininger pr. m synk	<p><b>DREIESONDERING</b></p> <p>Utføres med skjøtbare <math>\phi 22</math> mm borstenger med 200 mm vridd spiss. Boret dreies manuelt eller maskinelt ned i grunnen med inntil 1 kN (100 kg) vertikalbelastning på stengene. Hvis det ikke synker for denne lasten, dreies boret maskinelt eller manuelt. Antall <math>\frac{1}{2}</math>-omdreininger pr. 0,2 m synk registreres.</p> <p>Boremotstanden presenteres i diagram med vertikal dybdeskala og tverrstrek for hver 100 <math>\frac{1}{2}</math>-omdreininger. Skravur angir synk uten dreining, med påført vertikallast under synk angitt på venstre side. Kryss angir at borstengene er rammet ned i grunnen.</p>
 Middels stor motstand Liten motstand Stor motstand 0 50 100 150 kNm/m  0 50 Q <sub>0</sub> kNm/m	<p><b>RAMSONDERING</b></p> <p>Boringen utføres med skjøtbare <math>\phi 32</math> mm borstenger og spiss med normert geometri. Boret rammes med en rammeenergi på 0,38 kNm. Antall slag pr. 0,2 m synk registreres. Boremotstanden illustreres ved angivelse av rammemotstanden <math>Q_0</math> pr. m nedramming.</p> <p><math>Q_0 = \text{loddets tyngde} \cdot \text{fallhøyde/synk pr. slag (kNm/m)}</math></p>
 CPT2 +18,5 5 10 15 Korr. spissmotstand [MPa] Poretrykk [MPa] Sidefriksjon [MPa]	<p><b>TRYKKSONDERING (CPT - CPTU)</b></p> <p>Utføres ved at en sylindrisk, instrumentert sonde med konisk spiss presses ned i grunnen med konstant penetrasjonshastighet 20 mm/s. Under nedpressingen måles kraften mot konisk spiss og friksjonshylse, slik at spissmotstand <math>q_c</math> og sidefriksjon <math>f_s</math> kan bestemmes (CPT). I tillegg kan poretrykket <math>u</math> måles like bak den koniske spissen (CPTU). Målingene utføres kontinuerlig for hver 0,02 m, og metoden gir derfor detaljert informasjon om grunnforholdene.</p> <p>Resultatene kan benyttes til å bestemme lagdeling, jordart, lagringsbetingelser og mekaniske egenskaper (skjærfasthet, deformasjons- og konsolideringsparametre).</p>
 0 5 10 20 30 F <sub>DT</sub> kN	<p><b>DREIETRYKKSONDERING</b></p> <p>Utføres med glatte skjøtbare <math>\phi 36</math> mm borstenger med en normert spiss med hardmetallsveis. Borstengene presses ned i grunnen med konstant hastighet 3 m/min og konstant rotasjonshastighet 25 omdreininger/min. Rotasjonshastigheten kan økes hvis nødvendig (markeres med kryss på høyre side). Nedpressingskraften <math>F_{DT}</math> (kN) registreres automatisk under disse betingelsene, og gir grunnlag for å bedømme grunnforholdene.</p> <p>Metoden er spesielt hensiktsmessig ved påvisning av kvikkleire i grunnen, men den gir ikke sikker dybde til bergoverflaten.</p>
 Stein 10 15 20 Borsynk i berg cm/min.	<p><b>BERGKONTROLLBORING</b></p> <p>Utføres med skjøtbare <math>\phi 45</math> mm stenger og hardmetall borkrone med tilbakeslagsventil. Det benyttes tung slagborhammer og vannspyling med høyt trykk. Boring gjennom lag med ulike egenskaper, for eksempel grus og leire, kan registreres, likedan penetrasjon av blokker og større steiner. For verifisering av berginntrengning bores 3 m ned i berget, eventuelt med registrering av borsynk for sikker påvisning.</p>



### TOTALSONDERING

Kombinerer metodene dreietrykksondring og bergkontrollboring. Det benyttes  $\phi 45$  mm borstenger og  $\phi 57$  mm stiftborkrone med tilbakeslagsventil. Under nedboring i bløte lag presses boret ned i bakken med konstant hastighet 3 m/min og konstant rotasjonshastighet 25 omdreininger/min. Når faste lag påtreffes økes først rotasjonshastigheten (markeres som kryss til høyre). Gir ikke dette synk av boret benyttes spyling og slag på borkronen.

Nedpressingskraften  $F_{DT}$  (kN) registreres kontinuerlig og vises på diagrammets høyre side, mens markering av spyletrykk, slag og bortid vises til venstre.



Prøvemarkering



### PRØVETAKING

Utføres for undersøkelse av jordlagenes geotekniske egenskaper i laboratoriet.

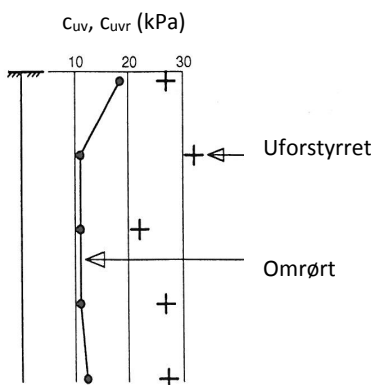
#### Maskinell naverboring (forstyrrede poseprøver):

Utføres med hul borstang påsveiset en metallspiral med fast stighøyde (auger). Med borrhjull kan det bores til 5-20 m dybde, avhengig av jordart, lagringsfasthet og beliggenhet av grunnvannstanden. Med denne metoden kan det tas forstyrrede poseprøver ved å samle materialet mellom spiralskivene. Det er også mulig å benytte enklere håndholdt utstyr som for eksempel skovlprøvetaking.

#### Sylinder/blokkprøvetaking (Uforstyrrede prøver):

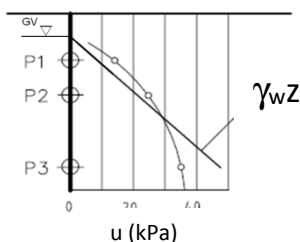
Vanligvis benyttes stempel-prøvetaking med innvendig stempel for opptak av 60-100 cm lange sylinderprøver. Prøvesylinderen kan være av plast eller stål, og det kan benyttes utstyr både med og uten innvendig prøvesylinder. På ønsket dybde skjæres det ut en jordprøve som trekkes opp til overflaten, der den blir forseglet for transport til laboratoriet. Prøvediameteren kan variere mellom  $\phi 54$  mm (vanligst) og  $\phi 95$  mm. Det er også mulig å benytte andre typer prøvetakere, som for eksempel ramprøvetakere og blokkprøvetakere.

Prøvekvaliteten inndeles i Kvalitetsklasse 1-3, der 1 er høyeste kvalitet.



### VINGEBORING

Utføres ved at et vingekorset med dimensjoner  $b \times h = 55 \times 110$  mm eller  $65 \times 130$  mm presses ned i grunnen til ønsket målenivå. Her blir vingekorset påført et økende dreiemoment til jorden rundt vingen når brudd. Det tilhørende dreiemomentet blir registrert. Dette utføres med jorden i uforstyrret ved første gangs brudd og omrørt tilstand etter 25 gjentatte omdreininger av vingekorset. Udrenert skjærfasthet  $c_{uv}$  og  $c_{ur}$  beregnes ut fra henholdsvis dreiemomentet ved brudd og etter omrøring. Fra dette kan også sensitiviteten  $S_t = c_{uv}/c_{ur}$  bestemmes. Tolkede verdier må vanligvis korrigeres empirisk for opptredende effektivt overlageringstrykk i måledybden, samt for jordartens plastisitet.



### PORETRYKSMÅLING

Målingene utføres med et standrør med filterspiss eller med hydraulisk (åpent)/elektrisk piezometer (poretrykksmåler). Filteret eller piezometerspissen påmontert piezometerrør presses ned i grunnen til ønsket dybde. Stabilt poretrykk registreres fra vannets stighøyde i røret, eller ved avlesning av en elektrisk trykkmåler i spissen. Valg av utstyr vurderes på bakgrunn av grunnforhold og hensikten med målingene.

Grunnvannstand observeres eller peiles direkte i borhullet.

## BILAG 2

### **Geotekniske bilag - laboratorieforsøk**

(4 sider)



Laboratorieundersøkelser utføres for sikker klassifisering og bestemmelse av mekaniske egenskaper. Forsøkene utføres på prøver som er tatt opp i felt. For utførelsesstandarder henvises det til «Geoteknisk bilag 3 – Oversikt over metodestandarder og retningslinjer».

## MINERALSKE JORDARTER

Ved prøveåpning klassifiseres og indentifiseres jordarten. Mineralske jordarter klassifiseres vanligvis på grunnlag av korngraderingen. Betegnelse og kornstørrelser for de enkelte fraksjonene er:

Fraksjon	Leire	Silt	Sand	Grus	Stein	Blokk
Kornstørrelse [mm]	<0,002	0,002-0,063	0,063-2	2-63	63-630	>630

En jordart kan inneholde en eller flere av fraksjonene over. Jordarten benevnes i henhold til korngraderingen med substantiv for den fraksjon som har dominerende betydning for jordartens egenskaper og adjektiv for medvirkende fraksjoner (for eksempel siltig sand). Leirinnholdet har størst betydning for benevnelse av jordarten. Morene er en usortert breavsetning som kan inneholde alle fraksjoner fra leir til blokk. Den største fraksjonen angis først i beskrivelsen etter egne benevningsregler, for eksempel grusig morene.

## ORGANISKE JORDARTER

Organiske jordarter klassifiseres på grunnlag av jordartens opprinnelse og omdanningsgrad. De viktigste typer er:

Benevnelse	Beskrivelse
Torv	Myrplanter, mer eller mindre omdannet
<ul style="list-style-type: none"> <li>Fibrig torv</li> </ul>	Fibrig med lett gjenkjennelig plantestruktur. Viser noe styrke
<ul style="list-style-type: none"> <li>Delvis fibrig torv, mellomtorv</li> </ul>	Gjenkjennelig plantestruktur, ingen styrke i planterestene
<ul style="list-style-type: none"> <li>Amorf torv, svarttorv</li> </ul>	Ingen synlig plantestruktur, svampig konsistens
Gytje og dy	Nedbrutt struktur av organisk materiale, kan inneholde mineralske bestanddeler
Humus	Planterester, levende organismer sammen med ikke-organisk innhold
Mold og matjord	Sterkt omdannet organisk materiale med løs struktur, utgjør vanligvis det ovre jordlaget

## KORNFORDELINGSANALYSER

En kornfordelingsanalyse utføres ved våt eller tørr sikting av fraksjonene med diameter  $d > 0,063$  mm. For mindre partikler bestemmes den ekvivalente korndiameteren ved slemmeanalyse og bruk av hydrometer. I slemmeanalysen slemmes materialet opp i vann og densiteten av suspensjonen måles ved bestemte tidsintervaller. Kornfordelingen kan da bestemmes fra Stokes lov om sedimentering av kuleformede partikler i vann. Det vil ofte være nødvendig med en kombinasjon av metodene.

## VANNINNHOOLD

Vanninnholdet angir masse av vann i % av masse tørt (fast) stoff i massen og bestemmes fra tørking av en jordprøve ved 110°C i 24 timer.

## KONSISTENSGRENSER

Konsistensgrensene (Atterbergs grenser) for en jordart angir vanninnholdsområdet der materialet er plastisk (formbart). Flytegrensen angir vanninnholdet der materialet går fra plastisk til flytende tilstand. Plastisitetsgrensen (utrullingsgrensen) angir vanninnholdet der materialet ikke lenger kan formes uten at det sprekker opp. Plastisitetsindeksen  $I_p = w_f - w_p$  (%) angir det plastiske området for jordarten og benyttes til klassifisering av plastisiteten. Er det naturlige vanninnholdet høyere enn flytegrensen blir materialet flytende ved omrøring (vanlig for kvikkleire).

## HUMUSINNHOOLD

Humusinnholdet kan bestemmes ved kolorimetri og bruk av natronlut (NaOH-forbindelse), glødning av jordprøve i varmeovn eller våt-oksidasjon med hydrogenperoksyd. Metoden angir innholdet av humufiserte organiske bestanddeler i en relativ skala.

**DENSITET, TYNGDETETHET, PORETALL OG PORØSITET**

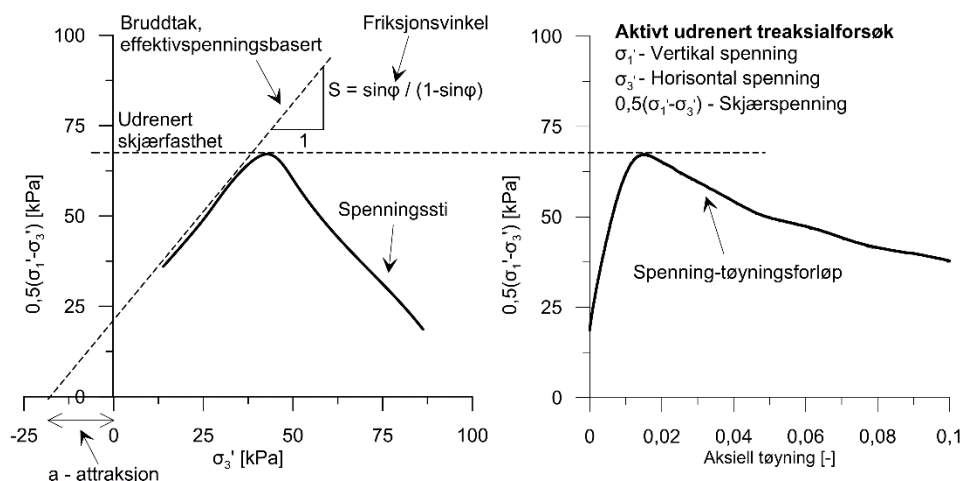
Navn	Symbol	Enhet	Beskrivelse
Densitet	$\rho$	g/cm <sup>3</sup>	Masse av prøve per volumenhet. Bestemmes for hel sylinder og utskåret del
Korndensitet	$\rho_s$	g/cm <sup>3</sup>	Masse av fast stoff per volumenhet fast stoff
Tørr densitet	$\rho_d$	g/cm <sup>3</sup>	Masse tørt stoff per volumenhet
Tyngdetetthet	$\gamma$	kN/m <sup>3</sup>	Tyngde av prøve per volumenhet ( $\gamma = \rho g = \gamma_s(1+w/100)(1-n/100)$ , der $g$ er tyngdeakselerasjonen)
Spesifikk tyngdetetthet	$\gamma_s$	kN/m <sup>3</sup>	Tyngde av fast stoff per volumenhet fast stoff ( $\gamma_s = \rho_s g$ )
Tørr tyngdetetthet	$\gamma_d$	kN/m <sup>3</sup>	Tyngde av tørt stoff per volumenhet ( $\gamma_d = \rho_d g = \gamma_s(1-n/100)$ )
Poretall	$e$	-	Volum av porer dividert med volum av fast stoff ( $e = n/(1-n)$ , $n$ som desimaltall)
Porøsitet	$n$	%	Volum av porer i % av totalt volum av prøven ( $n = e/(1+e)$ )

**SKJÆRFASTHET**

Skjærfastheten beskriver jordens styrke og benyttes bla. til beregning av motstand mot utglidninger og grunnbrudd. Skjærfasthet benyttes i beregninger av skråningsstabilitet og bæreevne. For korttidsbelastninger i finkornige materialer (leire) oppfører jorden seg udrenert og skjærfastheten beskrives ved udrenert skjærfasthet. Over lengre tidsintervaller vil oppførselen karakteriseres som drenert. Det benyttes da effektivspenningsparametere.

Effektive skjærfasthetsparametre  $a$  (attraksjon) og  $\tan \phi$  (friksjon) bestemmes ved treaksiale belastningsforsøk på uforstyrrede (leire) eller innbyggede prøver (sand). Skjærfastheten er avhengig av effektiv normalspenning (totalspenning – poretrykk) på kritisk plan. Forsøksresultatene fremstilles som spenningsstier som viser spenningsutvikling og tilhørende tøyningutvikling i prøven frem mot brudd. Fra disse, samt fra annen informasjon, bestemmes karakteristiske verdier for skjærfasthetsparametre for det aktuelle problemet.

Udrenert skjærfasthet  $c_u$  (kPa) bestemmes som den maksimale skjærspenning et materiale kan påføres før det bryter sammen i en situasjon med raske spenningsendringer uten drenering av poretrykk. I laboratoriet bestemmes denne egenskapen ved enaksiale trykkforsøk ( $c_{ut}$ ), konusforsøk (uforstyrret  $c_{ufc}$ , omrørt  $c_{urfc}$ ), udrenerte treaksialforsøk (kompresjon/aktiv  $c_{uA}$ , avlastning/passiv  $c_{uP}$ ) og direkte skjærforsøk ( $c_{uD}$ ). Udrenert skjærfasthet kan også bestemmes i felt ved for eksempel trykksondering med poretrykksmåling (CPTU) ( $c_{u\text{CPTU}}$ ) eller vingebor (uforstyrret  $c_{uv}$ , omrørt  $c_{uvr}$ ).



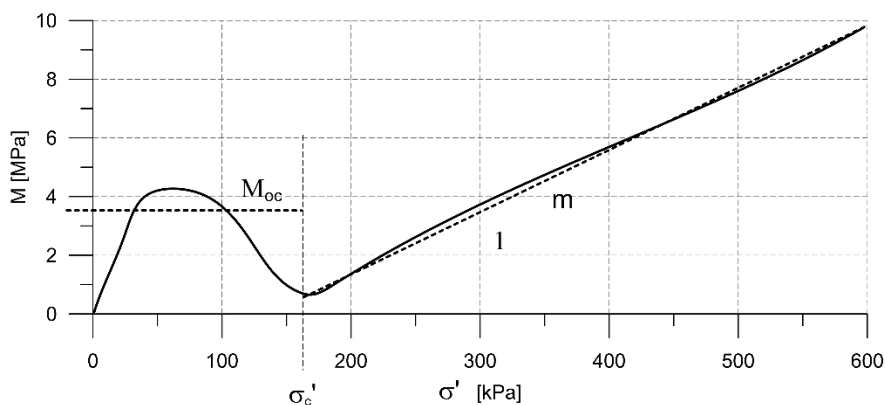
**SENSITIVITET**

Sensitiviteten  $St = c_u/c_r$  uttrykker forholdet mellom en leires udrenerte skjærfasthet i uforstyrret og omrørt tilstand. Denne størrelsen kan bestemmes fra konusforsøk i laboratoriet eller ved vingeborforsøk i felt. Kvikkleire har for eksempel meget lav omrørt skjærfasthet ( $c_r < 0,5$  kPa), og viser derfor som regel meget høye sensitivitetsverdier.



### DEFORMASJONS- OG KONSOLIDERINGSEGENSKAPER

Jordartens deformasjons- og konsolideringsegenskaper benyttes ved beregning av setninger og deformasjoner. Disse mekaniske egenskapene bestemmes ved hjelp av belastningsforsøk i ødometer. Jordprøven bygges inn i en stiv ring som forhindrer sideveis deformasjon. Belastningen skjer vertikalt med trinnvis eller kontinuerlig økende last/spenning ( $\sigma'$ ). Sammenhørende verdier for spenning og deformasjon (tøyning  $\epsilon$ ) registreres, og materialets stivhet (deformasjonsmodul) kan beregnes som  $M = \Delta\sigma' / \Delta\epsilon$ . Denne presenteres som funksjon av vertikalspenningen. En sentral parameter som tolkes i sammenheng med ødometerforsøk er forkonsolideringsspenningen ( $\sigma'_c$ ). Dette er det største lastnivået som jorda har opplevd tidligere (f.eks. tidligere overlaging eller islast). Deformasjonsmodulen viser typisk forskjellig oppførsel under og over forkonsolideringsspenningen. I leire vil stivheten for spenningsnivåer under  $\sigma'_c$  representeres ved en konstant stivhetsmodul  $M_{oc}$ . For spenningsnivåer over  $\sigma'_c$  vil stivheten øke med økende spenning. Denne økningen kan beskrives ved modultallet  $m$ .



### TELEFARLIGHET

En jordarts telefarlighet bestemmes ut i fra kornfordelingskurven eller ved å måle den kapillære stighøyde for materialet. Telefarligheten klassifiseres i gruppene T1 (Ikke telefarlig), T2 (Litt telefarlig), T3 (Middels telefarlig) og T4 (Meget telefarlig) etter SVV Håndbok N200.

### KOMPRIMERINGSEGENSKAPER

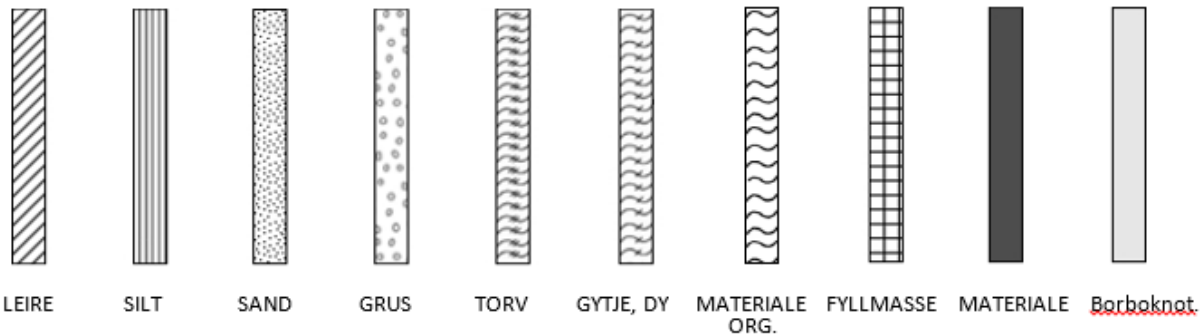
Ved komprimering av en jordart oppnås tettere lagring av mineralkornene. Komprimeringsegenskapene for en jordart bestemmes ved at prøver med forskjellig vanninnhold komprimeres med et bestemt komprimeringsarbeid (Standard eller Modifisert Proctor). Resultatene fremstilles i et diagram som viser tørr densitet  $\rho_d$  som funksjon av innbyggingsvanninnhold  $w_i$ . Den maksimale tørrdensiteten som oppnås ( $\rho_{dmax}$ ) benyttes ved spesifikasjon av krav til utførelsen av komprimeringsarbeider. Det tilhørende vanninnhold benevnes optimalt vanninnhold ( $w_{opt}$ ).

### PERMEABILITET

Permeabiliteten defineres som den vannmengden  $q$  som under gitte betingelser vil strømme gjennom et jordvolum pr. tidsenhet. Generelt bestemmes permeabiliteten fra følgende sammenheng:  $q = kiA$ , der  $A$  er bruttoareal av tverrsnittet normalt på vannets strømningsretning og  $i$  = hydraulisk gradient i strømningsretningen (= potensialforskjell pr. lengdeenhet). Permeabiliteten kan bestemmes ved strømningsforsøk i laboratoriet, ved konstant eller fallende potensial, eventuelt ved pumpe- eller strømningsforsøk i felt samt ødometerforsøk.

## OPPTEGNING AV PRØVESERIE - PRØVESKRAVERING

Analyserte prøver skraveres på prøveserietegningen i henhold til hovedbenevnelsen av materialet. Det er i tillegg en egen skravering for eventuelle notater hentet fra borbok til den gjeldende prøveserien. De ulike skraveringene er som følger:



**NB:** Med mindre en kornfordelingsanalyse er utført, er dette kun en subjektiv og veiledende klassifisering som er basert på laborantens visuelle vurdering av materialet.

**LEIRE:** Leirinnholdet er større enn 15 %

**SILT:** Siltinnholdet er større enn 45 % og leirinnholdet er mindre enn 15 %

**SAND:** Sandinnholdet er større enn 60 % og leirinnholdet er mindre enn 15 %

**GRUS:** Grusinnholdet er større enn 60 % og leirinnholdet er mindre enn 15 %

**MATERIALE:** Brukes når materialet har en slik sammensetning at ingen av de ovennevnte betegnelse kan benyttes. Dette fremkommer normalt fra en kornfordelingsanalyse

**TORV:** Mer eller mindre omvandlede planterester

**GYTJE/DY:** Består av vannavsatte plante- og dyrerester. De kan virke fete og elastiske

**MATERIALE ORG.:** Sterkt omdannet organisk materiale med løs struktur

**FYLLMASSE:** Avsetninger som ikke er naturlige (utlagte masser)

**Borboknotat:** Merknader fra borleder (hentet fra borbok), f.eks. «tom sylinder», «foringsrør», «forboring» osv.

## OPPTEGNING AV PRØVESERIE - SPESIALFORSØK – Korngradering (K) / Treksialforsøk (T) / Ødometerforsøk (Ø)

Eventuelt utførte spesialforsøk på en prøveserie markeres med K, T eller Ø ved tilhørende prøve. Markeringene indikerer ikke nøyaktig dybde for spesialforsøkene, men er referanse til at det foreligger egne tegninger for forsøket inkludert resultater og ytterlig forsøksinformasjon.

## OPPTEGNING AV PRØVESERIE - SYMBOLFORKLARING - Vanninnhold og konsistensgrenser

Vanninnhold og konsistensgrenser utført ved rutineundersøkelsen fremvises på prøveserietegningen ved plassering av symboler på tilhørende graf. Dersom et vanninnhold overstiger grafens maksimum vil verdien oppgis i siffer ved grafens øvre ytterpunkt.

Vanninnhold $w$		Plastisitetsgrense $w_p$	
		Flytegrense $w_f$	

## OPPTEGNING AV PRØVESERIE - SYMBOLFORKLARING - Udrenert skjærfasthet

Resultatene fra utførte konus- og enaksiale trykkforsøk ved rutineundersøkelsen fremvises på prøveserietegningen ved plassering av symboler på tilhørende graf. Dersom en skjærfasthetverdi overstiger grafens maksimum vil verdien oppgis i siffer ved grafens øvre ytterpunkt.

Uomrørt konus $c_{urfc}$		Omrørt konus $c_{urfc}$	
Enaksialt trykkforsøk Strek angir aksial tøyning (%) ved brudd		Omrørt konus $c_{urfc} \leq 2,0 \text{ kPa}$	0,9

## BILAG 3

### **Oversikt over metodestandarder og retningslinjer**

(2 sider)

### METODESTANDARDER OG RETNINGSLINJER – FELTUNDERSØKELSER

Feltundersøkelsesmetoder beskrevet i geotekniske bilag, samt terminologi og klassifisering benyttet i rapportering, baserer seg på gjeldende versjon av følgende standarder og referansedokumenter:

Dokument	Tema
NGF Melding 1	SI-enheter
NGF Melding 2, NS-EN ISO 14688-1 og -2	Symboler og terminologi
NGF Melding 3	Dreiesondering
NGF Melding 4	Vingeboring
NGF Melding 5, NS-EN ISO 22476-1	Trykksondering med poretrykksmåling (CPTU)
NGF Melding 6	Grunnvanns- og poretrykksmåling
NGF Melding 7	Dreietrykksondering
NGF Melding 8	Kommentarkoder for feltundersøkelser
NGF Melding 9	Totalsondering
NS-EN ISO 22476-2	Ramsondering
NGF Melding 10	Beskrivelsestekster for grunnundersøkelser
NGF Melding 11, NS-EN ISO 22475-1	Prøvetaking
Statens vegvesen Håndbok R211	Feltundersøkelser
NS 8020-1	Kvalifikasjonskrav til utførende av grunnundersøkelser

### METODESTANDARDER OG RETNINGSLINJER – LABORATORIEUNDERSØKELSER

Laboratorieundersøkelser beskrevet i geotekniske bilag, samt terminologi og klassifisering benyttet i rapportering, baserer seg på følgende standarder og referansedokumenter:

Dokument	Tema
NS8000	Konsistensgrenser – terminologi
NS8001	Støtflytegrense
NS8002	Konusflytegrense
NS8003	Plastisitetsgrense (utrullingsgrense)
NS8004	Svinggrense
NS8005, NS-EN ISO 17892-4	Kornfordelingsanalyse
NS8010, NS-EN ISO 14688-1 og -2	Jord – bestanddeler og struktur. Klassifisering og indentifisering.
NS8011, NS-EN ISO 17892-2	Densitet
NS8012, NS-EN ISO 17892-3	Korndensitet
NS8013, NS-EN ISO 17892-1	Vanninnhold
NS8014	Poretall, porøsitet og metningsgrad
NS8015	Skjærfasthet ved konusforsøk
NS8016	Skjærfasthet ved enaksialt trykkforsøk
NS8017	Ødometerforsøk, trinnvis belastning
NS8018	Ødometerforsøk, kontinuerlig belastning
NS-EN ISO/TS 17892-8 og -9	Treaksialforsøk (UU, CD)
Statens vegvesen Håndbok R210	Laboratorieundersøkelser